

§10 Charakterisierung periodischer Spannungen

Bisher $\min \sum_a w_a \cdot x_a$

$$\text{unter } x_a = \pi_j - \pi_i \quad \forall a = (i, j)$$

$$l_a \leq x_a + p_a \cdot T \leq u_a \quad \forall a$$

$$0 \leq x_a \leq T-1$$

$$p_a \text{ ganzz.}, x_a, \pi_i \text{ reell}$$



Formulierung im Potenzialraum

schlecht für Lösbarkeit mit MIP-Solvern

10.1 Formulierung im Spannungsraum



genauer: im Raum der periodischen Spannungen

Frage: wie kann man periodische Spannungen unabhängig von periodischen Potenzialen charakterisieren?

zunächst: aperiodische Spannungen = Potentialdifferenzen

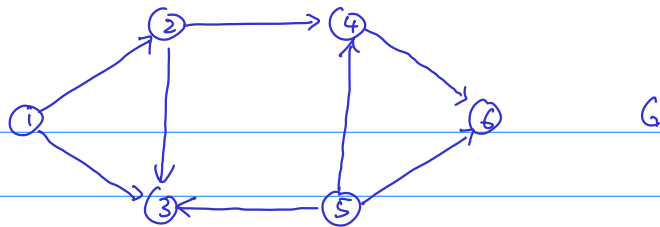
10.1 Lemma: Die Menge der aperiodischen Spannungen eines Digraphen G ist gleich dem Kozykelraum von G

Erinnerung: Zykelraum von G

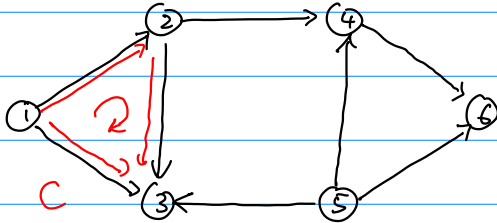
= der von den Inzidenzvektoren elementarer Kreise aufgespannte Untervektorraum von $\mathbb{R}^{A(G)}$

Kozykelraum = der von den Inzidenzvektoren von Schnitten $S(X)$ aufgespannte Untervektorraum von $\mathbb{R}^{A(G)}$

Bsp:

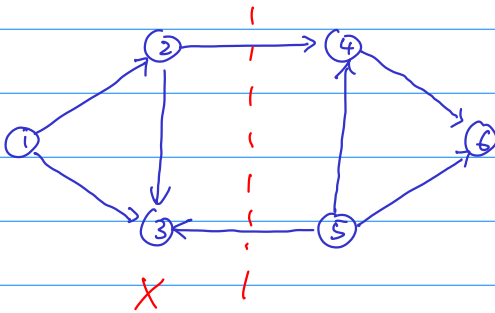


Inzidenzvektor $\varphi(C)$ eines (elementaren) Zykel von G



$$\varphi(C) = \begin{pmatrix} 1 & (1,2) \\ -1 & (1,3) \\ 1 & (2,3) \\ 0 & (2,4) \\ 0 & (4,6) \\ 0 & (5,3) \\ 0 & (5,4) \\ 0 & (5,6) \end{pmatrix}$$

Inzidenzvektor $\varphi(\delta(X))$ eines Schnittes



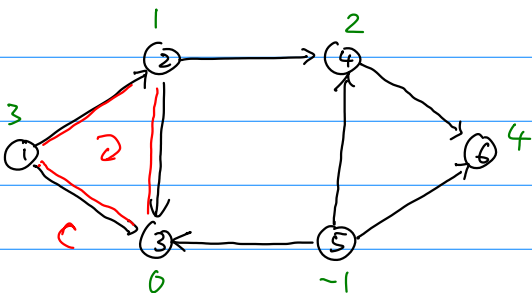
$$\delta(X) = \{(2,4), (5,3)\}$$

$$\varphi(\delta(X)) = \begin{pmatrix} 0 \\ \vdots \\ 1 & (2,3) \\ 0 \\ -1 & (5,3) \\ \vdots \\ 0 \end{pmatrix}$$

Werden zeigen:

- (A) Zykelraum und Kozykelraum sind zueinander orthogonal
- (B) $\dim(\text{Zykelraum}) + \dim(\text{Kozykelraum}) = \dim(\mathbb{R}^{A(G)}) = |A(G)|$

$$(1) \left. \begin{array}{l} C \text{ ein elementarer Zykel mit } \forall k C^+, \text{ } \forall k C^- \\ \pi \text{ Potenzial} \end{array} \right\} = 0 \sum_{(i,j) \in C^+} (\pi_j - \pi_i) - \sum_{(i,j) \in C^-} (\pi_j - \pi_i) = 0$$



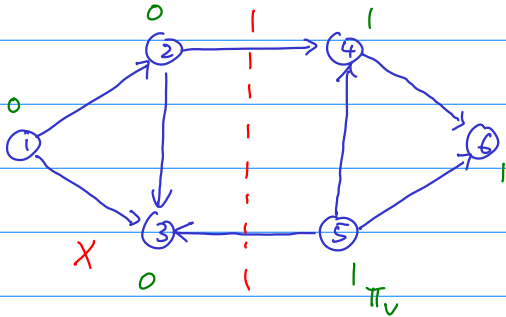
Für C entsteht:

$$1-3 + 0-1 - (0-3)$$

$$\pi_2 - \pi_1 + \pi_3 - \pi_2 - \pi_3 - \pi_1$$

(1) \Rightarrow Vektoren von Potenzialdifferenzen sind orthogonal zum Zykelraum

(2) Inzidenzvektoren von Schnitten sind Vektoren von Potenzialdifferenzen



\Rightarrow Vektor der Potenzialdifferenz
 $=$ Inzidenzvektor des Schnittes $S(X)$

$$\pi(v) = \begin{cases} 0 & v \in X \\ 1 & v \notin X \end{cases}$$

(3) Potenzialdifferenzen bilden Vektorraum

Sei x Potenzialdifferenz zu π , y Potenzialdifferenz zu σ

$$\Rightarrow (x+y)_{(i,j)} = x_{(i,j)} + y_{(i,j)} = (\pi_j - \pi_i) + (\sigma_j - \sigma_i)$$

$$= (\pi_j + \sigma_j) - (\pi_i + \sigma_i) = (\pi + \sigma)_j - (\pi + \sigma)_i$$

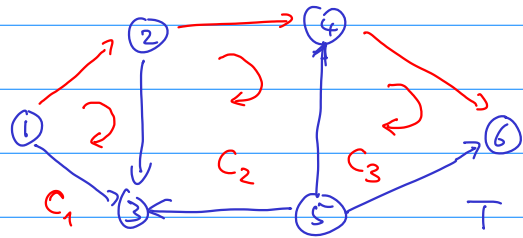
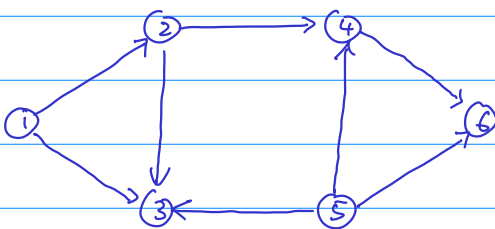
d.h. $x+y$ ist Potenzialdifferenz zu $\pi + \sigma$

entsprechend Abgeschlossenheit unter skalarer Multiplikation

(4) Sei T ein spannender Baum von G (im ungerichteten Sinne)

Dann sind die von den Nicht-Baumkanten erzeugten Kreise

(Fundamentalkreise) linear unabhängig

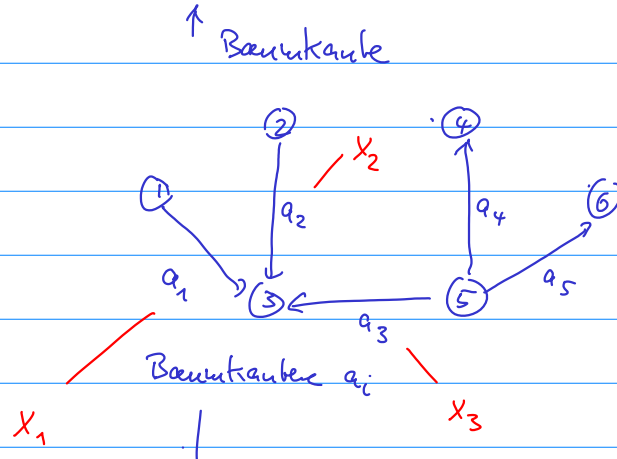
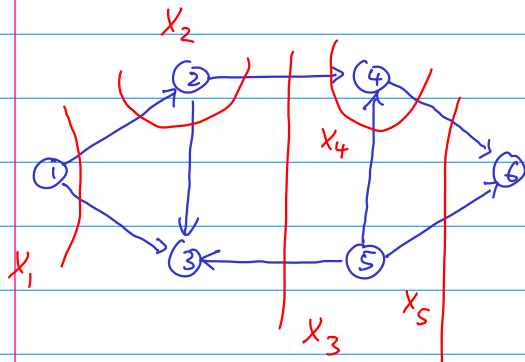


Fundamentalkreise

Inzidenzvektor eines
 linear unabhängig, da jeder Fundamentalkreis seine private "1"
 enthält ($\hat{=}$ jeder Kante)

(5) Sei T ein spannender Baum von G (im ungerichteten Sinne)
 Dann sind die von den Baumkanten erzeugten Schnitte $\mathcal{S}(X)$
 (Fundamentalschnitte) linear unabhängig

dabei ist X die Knotenmenge einer der Zusammenhangskomponenten in $T - e$



bestimmt Orientierung des Schnittes

linear unabhängig, da jeder Incidenzvektor seine private "1" enthält
 $\hat{=}$ Baumkante, die den Schnitt erzeugt

$$(6) \quad \dim(\text{Zykelraum}) + \dim(\text{Kozykelraum}) = \dim(\mathbb{R}^{A(G)}) = n$$

Nicht-Baumkante Baumkante alle Kanten

Damit bilden die Fundamentalkreise zu einem Baum eine Basis des Zykelraums und die Fundamentalschnitte eine Basis des Kozykelraums und

$$\dim(\text{Zykelraum}) = n - n + 1 =: \nu \quad (\text{zyklomatische Zahl})$$

$$\dim(\text{Kozykelraum}) = n - 1$$

(1), (2), (3) $= 0$ Kozykelraum \subseteq Raum der Potenzialdifferenzen \perp Zykelraum

(6) $= 0$ Raum der Potenzialdifferenzen = Kozykelraum

und wir haben (A) (B) und Lemma 1.1 gezeigt

Jetzt periodische Spannungen (= Potentialdifferenzen von periodischen Potentialen) erweisen sich als "nahezu" orthogonal zum Zykelraum werden dies verwenden um zu testen ob ein Vektor $x \in \mathbb{R}^{A(G)}$ ein periodisches Potential ist

10.2 SATZ (Serifini & Utkovich 89):

Sei G ein Digraph. Für $x \in \mathbb{R}^{A(G)}$ sind äquivalent

- (1) x ist eine periodische Spannung zu T
- (2) $x^T \varphi(C)$ ist ganzzahliges Vielfaches der Taktzeit T für jeden Kreis C von G
- (3) $x^T \varphi(C)$ ist ganzzahliges Vielfaches der Taktzeit T für jeden Kreis C aus einer "Baum-Basis" des Zykelraums

↳ Fundamentalkreise zu einem spannenden Baum von G

Beweis

(1) \Rightarrow (2)

Sei π das periodische Potential zu x

$$x^T \varphi(C) = \sum_{a=(i,j) \in C^+} (\pi_j - \pi_i + p_a T) - \sum_{a=(i,j) \in C^-} (\pi_j - \pi_i + p_a T)$$

$$= \sum_{C^+} (\pi_j - \pi_i) - \sum_{C^-} (\pi_j - \pi_i) + T \left(\sum_{C^+} p_a - \sum_{C^-} p_a \right)$$

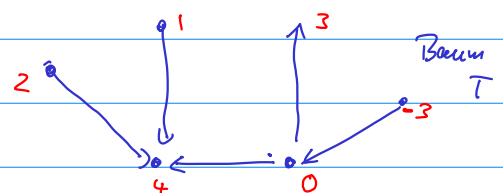
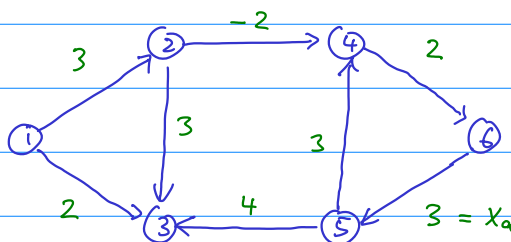
Sei \bar{x} die Potentialdifferenz zu π $z \in \mathbb{Z}$

$$= \bar{x}^T \varphi(C) + z \cdot T$$

$\underbrace{\quad}_0$, da \bar{x} eine aperiodische Potentialdifferenz ist

(2) \Rightarrow (3) klar

(3) \Rightarrow (1)



x erfüllt (3) bzgl $T=4$

Nutze Baum T zur Definition eines Potentials auf V , so dass

$\pi_j - \pi_i = x_{ij}$ auf Baumkanten

π ist nach Wahl von π_s in Startknoten s eindeutig bestimmt

Für Nichtbaumkanten (u,v) gilt für den von (u,v) erzeugten Fundamentalkreis C

$$\sum_{\substack{a \in C^+ \\ a=(i,j)}} (\pi_j - \pi_i) - \sum_{\substack{a \in C^- \\ a=(i,j)}} \pi_j - \pi_i = 0$$

da Potentialdiff. orthogonal zu Zykeln sind

$$\Rightarrow 0 = \sum_{\substack{a \in C^+ \\ a \neq (u,v)}} (\pi_j - \pi_i) - \sum_{a \in C^-} (\pi_j - \pi_i) + (\pi_v - \pi_u)$$

$$= \sum_{\substack{a \in C^+ \\ a \neq (u,v)}} x_a - \sum_{a \in C^-} x_a + (\pi_v - \pi_u)$$

$$\stackrel{(3)}{=} \underbrace{y_C \cdot T - x_{uv}} + (\pi_v - \pi_u)$$

↑
Vielfaches der Takzeit für C laut (3)

$$\Rightarrow x_{uv} = \pi_v - \pi_u + y_C \cdot T$$

$\Rightarrow x$ ist periodisches Potential \square

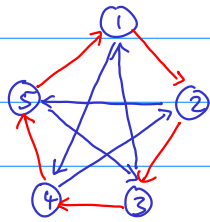
10.1 Aufgabe 10.1. Zeige:

zu einer zulässigen periodischen Spannung x mit Periodenoffsets p_a gibt es eine zulässige periodische Spannung y mit Periodenoffsets q_a und $q_a = 0$ für alle Kanten eines spannenden Baumes

\Rightarrow Reduktion der Suche nach Periodenoffsets auf die $n-1$ Nichtbaumkanten!

Die Charakterisierung ^{in (3)} gilt nicht für beliebige Basen des Zykelraums

Bsp:



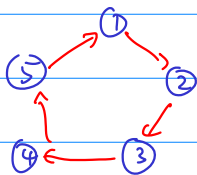
äußere 3-Zykel \leftarrow und der innere 5-Zykel bilden eine Basis des Zykelraums

(1,2) (2,3) (3,4) (4,5) (5,1) (3,1) (4,2) (5,3) (1,4) (2,5)

C_1	1	1				1				
C_2		1	1				1			
C_3			1	1				1		
C_4				1	1				1	
C_5	1				1					1
C_6						1	1	1	1	1



Γ = Kanten-Kreis-Inzidenzmatrix



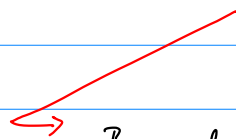
$$= \frac{1}{2} \varphi(C_1) + \frac{1}{2} \varphi(C_2) + \dots + \frac{1}{2} \varphi(C_6)$$

$\Rightarrow (3) = 0 (2)$ in Satz 10.2 geht verloren

da Koeff vor den $\varphi(C_i)$ nicht ganzzahlig sind

↓

man braucht für $(3) = 0 (2)$ die Eigenschaft, dass (3) für jede i.A. ganzzahlige Basis gilt



Basis des Zykelraums, so dass jeder Kreis als ganzzahlige Linearkombination von Basiskreisen darstellbar ist

10.3 Folgerung (Liebchen & Peters 2003)

Satz 10.2 bleibt gültig, wenn Eigenschaft (3) für Kreise jeder ganzzahligen Basis erfüllt ist

Beweis: (1) \Rightarrow (2) \Rightarrow (3)^{neu} wie bisher

Zeige: (3)^{neu} \Rightarrow (3)^{alt} \Rightarrow (1)
wie bisher

hierzu: Sei C Kreis einer Baumbasis

$$\Rightarrow \mathcal{F}(C) = \sum_k \lambda_k \mathcal{F}(C_k)$$

\uparrow \uparrow Kreise aus ganzzahliger Basis
gzz., da Basis ganzzahlig

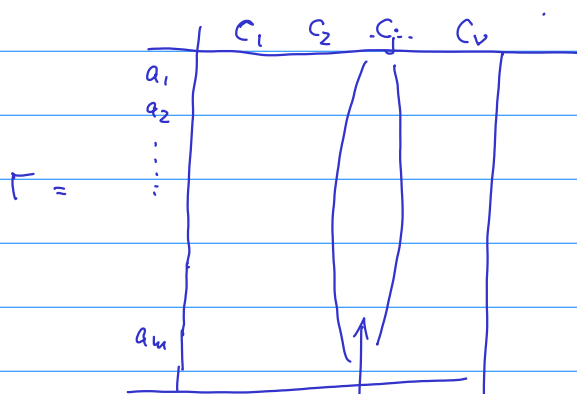
$$\begin{aligned} \Rightarrow x^T \mathcal{F}(C) &= \sum_k \lambda_k \underbrace{x^T \mathcal{F}(C_k)}_{= z_k \cdot T \text{ wegen } (3)^{\text{neu}}} \\ &= \underbrace{\left(\sum_k \lambda_k \cdot z_k \right)^T}_{\text{gzz.}} \quad \square \end{aligned}$$

Frage: Kann man ganzzahlige Basen charakterisieren

(im Sinne eines einfachen Tests ob eine Basis ganzzahlig ist)

Dazu Definition der Zykelmatrix Γ einer Basis des Zykelraums

= Kanten-Basiskreise-Inzidenzmatrix



$\mathcal{F}(C_j)$ bzgl. der Reihenfolge a_1, \dots, a_m der Kanten

10.4 Lemma: Seien Γ_1, Γ_2 zwei nicht-singuläre $v \times v$ Teilmatrizen von Γ
 Dann gilt $\det \Gamma_1 = \pm \det \Gamma_2$

d.h. Zykelnatrix ist unimodular

Beweis:

(1) Eine Teilmenge Γ' von v Zeilen von Γ ist (maximal)
 linear unabhängig
 \Leftrightarrow die entsprechenden Kanten sind Nichtbaumkanten eines
 spannenden Baumes

" \Leftarrow " Sei T spann. Baum von G und seien a_1, \dots, a_v die Nichtbaumkanten.

Sei Φ die Kanten-Fundamentalkreis-Matrix bzgl. T

$\Rightarrow \Phi$ ist Zykelnatrix des Baum Basis

Γ ist Zykelnatrix der gegebenen Basis

$\Rightarrow \exists v \times v$ Matrix R mit $\Gamma R = \Phi$ (R nicht-singulär)

\uparrow

beschreibt Linkomb der Kreise aus Φ durch

Kreise aus Γ

Teilmatrix von Φ zu a_1, \dots, a_v ist Einheitsvektor (nach geeigneter Permutation)

d.h.

$$\begin{matrix} a_1 \\ \vdots \\ a_v \end{matrix} \left\{ \begin{matrix} \Gamma \\ \Gamma' \end{matrix} \right\} R = \begin{matrix} \Phi \\ \text{Einheitsvektor} \end{matrix} \left\{ \begin{matrix} a_1 \\ \vdots \\ a_v \end{matrix} \right\}$$

$$\Rightarrow \Gamma' R = I \Rightarrow \Gamma' = R^{-1} \Rightarrow \Gamma' \text{ nicht singular}$$

nicht singular

" \Rightarrow " Ann. die $n-1$ Zeilen nicht in Γ' enthalten einen Kreis C
 $\Rightarrow \mathcal{P}(C)$ eindeutig als LK der Kreise aus Γ darstellbar
 $\Rightarrow \exists$ Vektor λ_C mit $\Gamma \cdot \lambda_C = \mathcal{P}(C)$
 Streiche in Γ und $\mathcal{P}(C)$ die Kanten aus $C \rightarrow \Gamma^0, \mathcal{P}(C)^0$
 $\Rightarrow \Gamma \cdot \lambda_C = \mathcal{P}(C)$ wird zu $\Gamma^0 \cdot \lambda_C = \mathcal{P}(C)^0 = \emptyset$
 $\Gamma^0 \supseteq \Gamma' \Rightarrow \lambda_C$ kombiniert die Spalten aus Γ' zu \emptyset
 Widerspruch zur lin. Unabh. der Zeilen von Γ'

(2) $\det \Gamma_1 = \pm \det \Gamma_2$ für 2 maximal linear unabh. Kantenwahlen Γ_1, Γ_2

(1) \Rightarrow Zeilen aus $\Gamma_1 \neq$ Nichtbaumkanten eines spannenden Baumes T_1
 Sei Φ_1 Kanten-Fundamentalkreis-Matrix von T_1
 sind vollst. unimodular nach Satz aus ADM II (neu)

10.2

und $\Phi_1 \cdot \Gamma_1 = \Gamma$ Aufgabe 10.2

Betrachte in Φ_1 und Γ nur die Zeilen aus $\Gamma_2 \rightarrow \Phi_1^0, \Gamma^0$

$$\Rightarrow \Phi_1^0 \cdot \Gamma_1 = \Gamma^0 = \Gamma_2$$

$$\det \Phi_1^0 = \pm 1, \Gamma_1, \Gamma_2 \text{ nicht singular} \Rightarrow \det \Gamma_1 = \pm \det \Gamma_2 \quad \square$$

\uparrow
 Zeilenwahl lin. unabh.

Φ_1 vollst. unimodular

Wegen Lemma 10.4 ist folgende Definition sinnvoll:

Sei \mathcal{C} eine Menge von \vee Kreisen von G

Sei $\Gamma_{\mathcal{C}}$ die Kanten-Kreis-Inzidenzmatrix von \mathcal{C}

Dann heißt det $\mathcal{C} := |\det \Gamma'|$ mit Γ' entsteht aus Γ durch

Streichen von Baumkanten eines bel. spann.

Baumes von G

die Determinante von \mathcal{C}

10.5 Folgerung: \mathcal{C} ist Basis des Zykelraums
 $\Leftrightarrow \det \mathcal{C} \in \mathbb{Z}_+$

Beweis:

$$\det \mathcal{C} \in \mathbb{Z}_+ \Leftrightarrow \det \mathcal{C} \neq 0 \Leftrightarrow \Gamma' \text{ ist nicht-singulär}$$

$$\Leftrightarrow \text{Spalten von } \Gamma' \text{ sind lin. unabh.}$$

$$\Leftrightarrow \text{Spalten von } \Gamma \text{ sind lin. unabh.}$$

$$\Leftrightarrow \text{Kreise von } \mathcal{C} \text{ lin. unabh.}$$

\Leftarrow nutzt dass alle Einträge von Γ' aus $\{0, 1, -1\}$ sind \square

10.6 SATZ (Liebeck 2003)

\mathcal{C} ist eine ganzzahlige Basis des Zykelraums $\Leftrightarrow \det \mathcal{C} = 1$

Beweis:

aus LinA ist bekannt $\det(B) = 1$ für gzz Matrix $B \Leftrightarrow B^{-1}$ gzz (1)

Sei C ein beliebiger Kreis von G ,

sei λ_C der Vektor der Koeffizienten in der Lin. Komb. bzgl. Basis \mathcal{C}

$$\text{d.h. } \Gamma_C \cdot \lambda_C = \mathcal{C}(C)$$

\uparrow

überbestimmtes Gleichungssystem zur Bestimmung von λ_C

Reicht zu lösen für ν lin. unabhängige Zeilen $\rightarrow \Gamma_C^\circ$

Nehme dazu die Nichtbaumkanten eines spannenden Baumes T

$$\Rightarrow \Gamma_C^\circ \lambda_C = \mathcal{C}(C)^\circ \quad (2)$$

" \Rightarrow " Sei \mathcal{C} gzz Basis $\stackrel{10.5}{\Rightarrow} |\det \Gamma_C^\circ| \in \mathbb{Z}_+$ und λ_C gzz

Betrachte Kreis C der durch eine Nichtbaumkante a_j von T erzeugt wird

(2)
 $\Rightarrow \lambda_c = (\Gamma_e^0)^{-1} \begin{pmatrix} 0 \\ \vdots \\ 0 \\ \vdots \\ 0 \end{pmatrix} \leftarrow \text{Zeile } j \text{ für Kante } a_j$

\Rightarrow Spalte $(\Gamma_e^{-1})_{\text{Spalte } j}$ ist gzz, da λ_c gzz

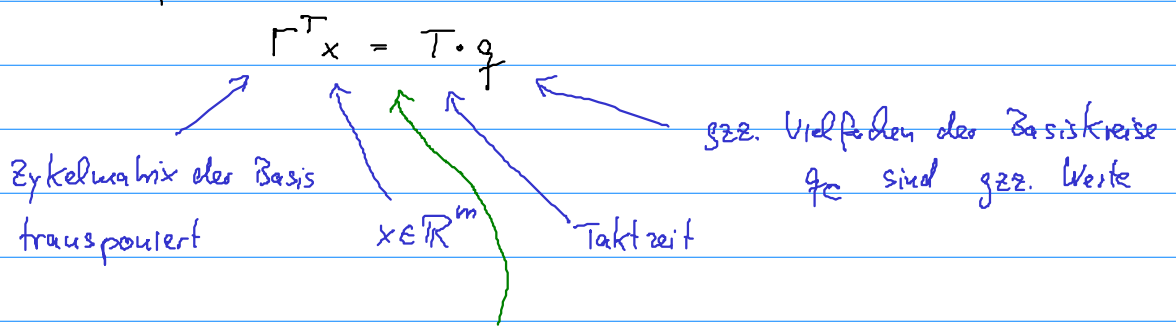
\Rightarrow (gilt für alle j) $\Rightarrow \Gamma_e^{-1}$ gzz

(1)
 $\Rightarrow \det \varphi = 1$

" \Leftarrow " Sei $\det \varphi = 1 \Rightarrow$ (Cramersche Regel) $(\lambda_c)_j = \frac{\det(\Gamma_e^0)^j}{\det \Gamma_e^0}$ gzz
 ± 1 gzz.

$\Rightarrow \lambda_c$ ist ganzzahlig \square

Diese Erkenntnisse führen zu neuer MIP-Formulierung für das PESP basierend auf



Gleichung entspricht Bed (3) neu aus Satz 10.2 und garantiert dass x eine periodische Spannung ist

Basis-kreise C $\begin{pmatrix} \text{Kanten} \\ \Gamma^T \\ \text{Kanten} \end{pmatrix} = T \cdot \begin{pmatrix} q_c \end{pmatrix}$ ganze Zahl für jeden Kreis C der Basis

MIP auf Basis der Kreisvariablen $q \in \mathbb{Z}$

$$\text{min } \sum_a w_a x_a$$

$$\text{unter } \Gamma^T x = T \cdot q$$

$$l \leq x \leq u$$

$$q \in \mathbb{Z}$$

← sichert, dass x periodische Spannung ist

← sichert Zulässigkeit von x

←

10.7 Lemma: Ist q bekannt, so ergibt sich x hieraus in polynomialer Zeit und x ist ebenfalls ganzzahlig

Beweis: Sei $q \in \mathbb{Z}$ und bekannt

⇒ x wird bestimmt durch Lösung des LP

$$\text{min } \sum_a w_a x_a$$

$$\text{unter } \Gamma^T x = T \cdot q$$

$$l_a \leq x_a \leq u_a \quad \forall a$$

polynomial (z.B. innere Punkte Methode oder einfachere Methoden bei speziellen Basen)

$$\left. \begin{array}{l} \det \Gamma = 1 \\ T, q \in \mathbb{Z} \end{array} \right\} \Rightarrow (\text{Cramer}) \quad x \in \mathbb{Z} \quad \square$$

10.8 SATZ: Die folgenden Kreisfamilien sind \mathbb{Z} -Basen

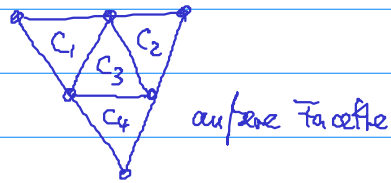
(1) die Fundamentalkreise bzgl. eines spannenden Baums

"Fundamentale Kreisbasen"

(2) jede Menge von ν Kreisen C_1, C_2, \dots, C_ν mit der Eigenschaft $C_k \setminus \bigcup_{i=1}^{k-1} C_i \neq \emptyset$

"schwach fundamentale Kreisbasen"

(3) Die Menge der Facetten (außer der äußeren) eines planaren Graphen
"2-Basis"



10.3 Aufgabe 10.3

Beweis Satz 10.8 + Überlegung wie man für diese Basen das
Gleichungssystem $\Gamma^T x = Tq$ nach x löst
(wenn q bekannt)